СИНТЕЗ И СВОЙСТВА НЕОРГАНИЧЕСКИХ СОЕЛИНЕНИЙ

УДК 546.282.3:546.824:547.89

СИНТЕЗ И ИССЛЕДОВАНИЕ СМЕШАННЫХ ОКСИДОВ Si—Ti, МОДИФИЦИРОВАННЫХ КОМПЛЕКСАМИ ДИБЕНЗО-18-КРАУН-6 С КАТИОНАМИ МЕТАЛЛОВ

© 2022 г. О. В. Федорова^{а, *}, А. Н. Мурашкевич^b, Е. С. Филатова^a, О. В. Корякова^a, М. С. Валова^a, А. О. Кравченко^b, А. И. Максимовских^a, Г. Л. Русинов^{a, c}

^аИнститут органического синтеза им. И.Я. Постовского УрО РАН, ул. С. Ковалевской, 22/20, Екатеринбург, 620108 Россия

^bБелорусский государственный технологический университет, ул. Свердлова, 13A, Минск, 220006 Беларусь

^сУральский федеральный университет им. первого Президента России Б.Н. Ельцина, ул. Мира, 19, Екатеринбург, 620002 Россия

*e-mail: olga.fedorova.ios@mail.ru Поступила в редакцию 28.02.2022 г. После доработки 26.04.2022 г. Принята к публикации 30.04.2022 г.

Методом золь-гель синтеза получены композиты на основе SiO_2 — TiO_2 и комплексов дибензо-18-краун-6 (ДБК) с катионами редкоземельных элементов (РЗЭ), натрия, цезия, бария и стронция, в том числе с их ионными отпечатками. Методом термогравиметрии показано, что в композитах с комплексными соединениями дибензо-18-краун-6 основная часть воды, а также диметилформамид связаны в комплекс с краун-эфиром и катионом металла, который разрушается при $210-230^{\circ}$ С. По-казана возможность создания эффективных и селективных сорбентов РЗЭ путем формирования в композите ДБК· SiO_2 — TiO_2 отпечатка катиона РЗЭ или близкого по размеру и дешевого катиона Na(I), что может быть использовано на практике.

Ключевые слова: оксиды Si—Ti, P3Э, комплексы краун-эфиров, отпечаток катиона, сорбция **DOI:** 10.31857/S0044457X22100282

ВВЕДЕНИЕ

В настоящее время органо-неорганические гибриды привлекают большое внимание исследователей для создания новых функциональных материалов. Активно исследуется включение органических красителей в микро- или мезопористые материалы, такие как цеолит, мезопористый диоксид кремния МСМ-41 и глинистые минералы. Полученные материалы могут проявлять уникальные физико-химические свойства и, как ожидается, в будущем использоваться в качестве адсорбентов, катализаторов, материалов для фотовольтаики [1-9]. Золь-гель процессы являются эффективными способами получения микро- и мезопористых материалов, таких как SiO_2 и TiO_2 , структуру пор и свойства которых можно легко изменять, контролируя условия их приготовления [10, 11]. Золь-гель метод успешно применяется для синтеза органо-неорганических гибридов, в которых неорганическая часть химически модифицирована органическими группами [12–19]. Менее затратными являются методы, не требующие химического модифицирования поверхности, например, допирование неорганических оксидов органическими молекулами в процессе золь-гель синтеза. Органическими компонентами могут быть красители, нитроанилин, нафталины или кумарины [20, 21].

В литературе описаны неорганические полимеры с молекулярным отпечатком [22]. В работе [23] продемонстрирована эффективность адсорбции лактозы из свежего молока с использованием колонки с неподвижным слоем кремнеземного полимера с молекулярным отпечатком лактозы, который был получен золь-гель методом.

Получение материалов с ионными отпечатками является популярным направлением в области синтеза селективных сорбентов катионов металлов "ion-imprinted adsorbent". Для создания ионного отпечатка в процесс получения органического или неорганического полимера вовлекается комплекс органической молекулы-лиганда с определенным катионом. После завершения процесса полимеризации из полученного материала удаляются (путем промывки) катионы металла и остаются их отпечатки. Наиболее широко иссле-

дованы в этом отношении полимеры [24, 25], материалы на основе неорганических оксидов известны в гораздо меньшей степени. В работе [26] описан оксид кремния, в который на стадии зольгель синтеза вводили краун-эфир-1,4,10,13-тетраокса-7,16-диазациклооктадекан-7,16-6uc-малонат в виде комплекса с катионами Sr^{2+} , после удаления последних был получен материал, эффективно сорбирующий стронций.

Краун-эфиры широко используются как лиганды, отличающиеся размером молекулярной полости [27], что позволяет подобрать лиганд с предсказуемой селективностью связывания катионов металлов, в том числе в процессах экстракции и сорбции катионов щелочных и щелочноземельных металлов [28]. В частности, авторы [29] показали возможность выделения некоторых редкоземельных элементов (РЗЭ) с использованием кристаллического дибензо-18-краун-6 (ДБК) в качестве сорбента. Широко используются сорбенты, содержащие химически привитые краун-эфирные лиганды [30—32]. Известны сорбенты, полученные методом импрегнирования (пропитки) раствором краун-эфира неорганического носителя [33].

Нами разрабатывается подход, который является альтернативой вышеописанным методам иммобилизации краун-эфиров на неорганическую подложку и лишенный их недостатков. Путем добавления краун-эфира в процессе зольгель синтеза оксидов SiO_2 — TiO_2 нами были получены композиты краун-эфир· SiO_2 — TiO_2 [34, 35] и показана высокая эффективность и селективность сорбции катионов бария и иттербия в присутствии катионов РЗЭ. При этом композит ДБК· SiO_2 — TiO_2 , имеющий отпечаток катиона стронция в своей структуре, на 20% эффективней сорбирует стронций, чем сорбент, не имеющий отпечатка [36].

Цель настоящей работы — разработка методов синтеза композиционных материалов на основе оксидов титана-кремния, модифицированных комплексами ДБК с катионами металлов, получение сорбентов, имеющих отпечаток катионов РЗЭ и некоторых металлов I и II групп, исследование физико-химических и сорбционных свойств новых композитов.

ЭКСПЕРИМЕНТАЛЬНАЯ ЧАСТЬ

Синтез комплексных соединений ДБК 1—7 с катионами металлов осуществляли нагреванием эквимолярных количеств краун-эфира и соответствующей соли металла в диметилформамиде (ДМФА) с последующей его отгонкой в вакууме и сушкой комплекса при 100°С. В качестве носителей комплексов ДБК использовали оксиды титана и кремния, для формирования которых применяли золь-гель метод.

При получении золя диоксида кремния в качестве кремнийсодержащего компонента использовали гексафторокремниевую кислоту с концентрацией 12 мас. % и отношением F/Si = 5.1. Гидролиз гексафторокремниевой кислоты проводили в присутствии суспензии карбоната кальция с последующим отделением осадка фторида кальция от золя диоксида кремния на центрифуге при скорости вращения ротора 5000—6000 об/мин. Суммарная реакция взаимодействия может быть представлена следующим уравнением:

$$3CaCO3 + H2SiF6 \rightarrow$$

$$\rightarrow 3CaF2 \downarrow + SiO2 + 3CO2 \uparrow + H2O.$$
 (1)

Концентрация диоксида кремния в полученном золе составляла 2.5-3.3 мас. %, диаметр частиц — до 10 нм. Остаточная концентрация (мас. %): CaO - 0.1-0.3; $F^- - 0.001-0.01$.

Гидрозоль ТіО $_2$ получали пептизацией предварительно осажденного гидроксида титана из раствора TiCl $_4$ в изопропиловом спирте (ИПС) или воде 20%-ным водным раствором карбоната аммония. К раствору TiCl $_4$ в ИПС или воде при интенсивном перемешивании добавляли 20%-ный раствор карбоната аммония до рН 5.1—5.5. Ниже представлена суммарная реакция получения осажденного диоксида титана:

$$\begin{aligned} & \text{TiCl}_4 + 2(\text{NH}_4)_2\text{CO}_3 \rightarrow \\ \rightarrow & \text{TiO}_2 \downarrow + 4\text{NH}_4\text{Cl} + 2\text{CO}_2 \uparrow \,. \end{aligned} \tag{2}$$

Осадок отмывали водой до отсутствия реакции на анионы хлора, пептизацию проводили преимущественно при массовой концентрации ${\rm TiO_2}$ в золе $\sim\!3\%$. Поскольку для титана характерна высокая комплексообразующая способность, в качестве стабилизатора использовали азотную кислоту, анион которой, являясь слабым ацидолигандом, не образует прочных комплексных соединений с титаном. Молярное отношение водорода к титану (H/Ti) поддерживали равным $\sim\!0.6-0.8$.

Диаметр частиц полученных золей ${\rm TiO_2}$ составлял $10{-}15$ нм. Оптические характеристики золей исследовали на спектрофотометре Metertech SP8001 при концентрации твердой фазы 0.2 мас. % ${\rm TiO_2}$ [37] и затем рассчитывали эффективные диаметры частиц золей.

Приготовленные золи TiO_2 и SiO_2 , освобожденные от побочных продуктов (CaF_2 и CO_2) и находящиеся в максимально дисперсном состоянии, смешивали в соотношении 1:1, добавляли соответствующий комплекс ДБК в ДМФА (соотношение смешанный оксид: комплекс ДБК = 1:0.33) и подвергали ультразвуковому диспергированию в течение 10-20 мин, далее сушили при температуре 110° С до постоянной массы. Образцы, имеющие отпечаток катиона металла, по-

№ соединения	Найдено, %			F	Вычислено, 9	Состав комплекса	
	С	Н	M	С	Н	M	(мольное соотношение)
1	44.44	5.41	15.76	44.32	5.01	16.03	1.6 ДБК·LaCl ₃ ·2.5 H ₂ O
2	40.34	5.67	17.20	40.12	5.28	16.94	1.5 ДБК·EuCl ₃ ·5.5 H ₂ O
3	40.93	5.62	16.77	40.60	5.22	16.79	1.5 ДБК·SmCl ₃ ·5.5 H ₂ O
4	40.18	4.14	21.47	40.26	4.05	21.43	1.1 ДБК·CsI
5	60.38	6.27	5.55	59.72	6.15	5.20	ДБК·CH ₃ COONa
6	42.51	4.01	24.07	42.24	4.25	24.15	ДБК·BaCl ₂
7	46.46	4.86	16.92	46.29	4.66	16.88	ДБК·SrCl ₂

Таблица 1. Состав комплексных соединений ДБК с катионами металлов по данным элементного анализа

лучали путем промывки композита смешанный оксид-комплекс ДБК водой и сушки при 110°C до постоянной массы.

Элементный анализ комплексов и композитов проводили с использованием автоматического элементного анализатора CHNS Euro EA3000 (Eurovector Instruments). Содержание суммы оксидов Si+Ti определяли гравиметрически после сжигания навески композита в токе кислорода. ИК-спектры диффузного отражения регистрировали на спектрометре Spectrum One фирмы Perkin Elmer с помощью автоматической приставки в области 4000-400 см $^{-1}$. Отнесение полос в ИКспектрах проводили в соответствии с [38]. Термоаналитические исследования выполняли на дериватографе системы Module TGA/DSC 1 Stare (Mettler Toledo) в статической воздушной атмосфере в интервале температур 20-980°C при линейном режиме нагрева образцов со скоростью 10 град/мин. Определение среднего эффективного диаметра частиц золей проводили турбидиметрическим методом Рэлея [39].

Адсорбцию катионов из индивидуальных метанольных растворов композитами ДБК·SiO₂—TiO₂ проводили по следующей методике: готовили 10 мл раствора, содержащего 100 мг/л ионов РЗЭ или щелочного (щелочноземельного) металла и добавляли 100 мг сорбента. Сорбцию проводили в течение 2 сут, затем раствор фильтровали и определяли содержание РЗЭ спектрофотометрически в присутствии арсеназо I на фотокалориметре КФК-2 при длине волны 590 нм и толщине поглощающего слоя 10 мм. Содержание щелочного металла определяли спектрофотометрически в присутствии арсеназо III [40].

РЕЗУЛЬТАТЫ И ОБСУЖДЕНИЕ

В качестве подложки для комплексных соединений ДБК использовали смешанные оксиды

Si—Ti, поскольку в группе Ti—O—Si электроноакцепторная способность атома титана повышается в сравнении с индивидуальным оксидом титана, а поверхность смешанного оксида отличается более высокой концентрацией кислотно-основных центров [41], что может положительно влиять на прочность связывания органических молекул, в частности краун-эфиров.

По данным ИК-спектроскопии, в исходных смешанных оксидах и композитах на их основе присутствуют полосы поглощения деформационных колебаний группы Si-O-Ti около 930-950 см $^{-1}$ [42].

Комплексные соединения ДБК с солями РЗЭ, натрия, цезия, бария и стронция **1**—7 (схема 1, табл. 1) исследованы методами элементного анализа и ИК-спектроскопии (рис. 1, 2).

Схема 1.

Необходимо упомянуть, что соль металла в комплексе с краун-эфиром существует в виде разделенной ионной пары, когда катион находится в молекулярной полости краун-эфира, а анион — снаружи [38].

ИК-спектры ДБК и ряда его комплексов подробно описаны в [38], при комплексообразовании чаще всего изменяются полосы, относящиеся к полиэфирным фрагментам, — валентные колебания групп C_{Ar} —O— C_{Alr} (1230—1250 см $^{-1}$) и C_{Alk} —O— C_{Alk} (\sim 1000 см $^{-1}$), а также деформационные колебания СН-групп в области 1300—1500 и 400—1100 см $^{-1}$.

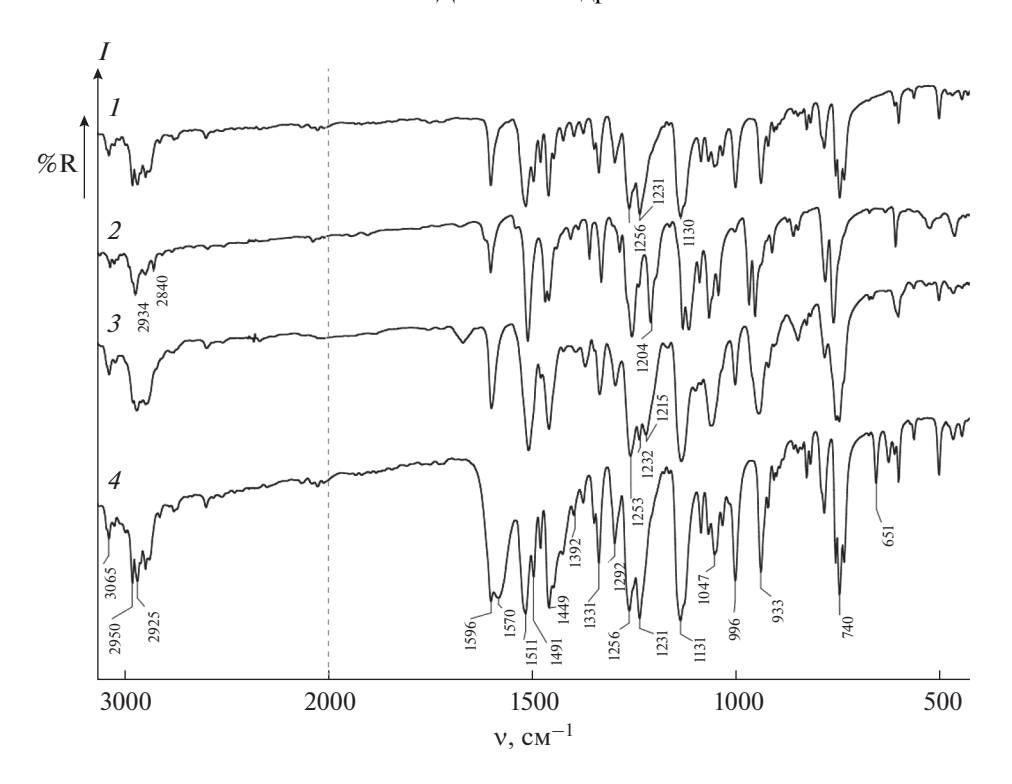


Рис. 1. ИК-спектры ДБК (1) и его комплексов с солями металлов: ДБК·SrCl₂ 7 (2); ДБК·Csl₂ 4 (3); ДБК·NаАс 5 (4).

В нашем случае наиболее заметны изменения в ИК-спектрах комплексов 4. 5 и 7 с катионами цезия, натрия и стронция. В ИК-спектре комплекса ДБК·CsI (4) (рис. 1, кривая 3) в сравнении с исходным ДБК (рис. 1, кривая 1) наблюдается уменьшение числа полос поглощения деформационных колебаний СН-групп в области 1300— 1500 и 400-1100 см $^{-1}$. В то же время обращает на себя внимание расщепление полос валентных колебаний групп C_{Ar} —O— C_{Alk} при 1253, 1232 и 1215 см $^{-1}$. Вероятно, при образовании комплекса с CsI структура макроцикла искажается, причем наибольшее изменение претерпевают связи С_{Аг}-О- C_{Alk} . ИК-спектр ДБК·SrCl₂ (7) (рис. 1, кривая 2) значительно отличается от спектров ДБК и комплексов 1-3 и 6, особенно в области валентных колебаний C_{Ar} – O – C_{Alk} (смещение максимумов в низкочастотную сторону от 1231 до 1204 см $^{-1}$) и деформационных колебаний СН-групп в области 1300-1500, 1100-1200 и 900-1100 см⁻¹, что также свидетельствует о значительном искажении молекулы лиганда. Особенностью ИК-спектра комплекса 5 (рис. 1, кривая 4) является наличие полос поглощения ацетат-иона, которые проявляются при 1570 и около 1400 см $^{-1}$ ($V_{as}(COO^-)$ и v_s(COO-)) и частично накладываются на полосы ароматических колец при 1591 и 1449 см $^{-1}$. Следует отметить, что незначительное отклонение частот поглощения ацетат-иона от приведенных в

[43] скорее является следствием наложения полос, чем искажения симметрии аниона.

ИК-спектры комплексов ДБК с редкоземельными элементами (1-3) практически идентичны, на рис. 2 приведен ИК-спектр комплекса с лантаном 1, где имеются широкая интенсивная полоса с максимумом вблизи 3360 см-1 и узкая полоса средней интенсивности при 1623 см⁻¹, характеризующие соответственно валентные и деформационные колебания воды, в то время как в спектрах комплексов 4-7 такие полосы не наблюдаются (рис. 1). Это согласуется с данными элементного анализа. Основные полосы поглощения, относящиеся к колебаниям связей краун-эфира, практически не отличаются от ИК-спектра чистого ДБК (рис. 2, кривая 1). Вероятно, вследствие соответствия размеров полости краун-эфира и катионов этих металлов последние встраиваются в молекулу макроцикла, не искажая его структуру.

С целью формирования отпечатков катионов металлов в полости краун-эфира, входящего в состав композита неорганический оксид краунэфир, осуществлен золь-гель синтез композитов SiO_2 — TiO_2 ·комплекс ДБК с катионом металла 8a-14a. После отмывки водой получены композиты SiO_2 — TiO_2 ·ДБК с отпечатком соответствующего катиона 8b-14b (схема 2). Данные элементного анализа полученных образцов приведены в табл. 2.

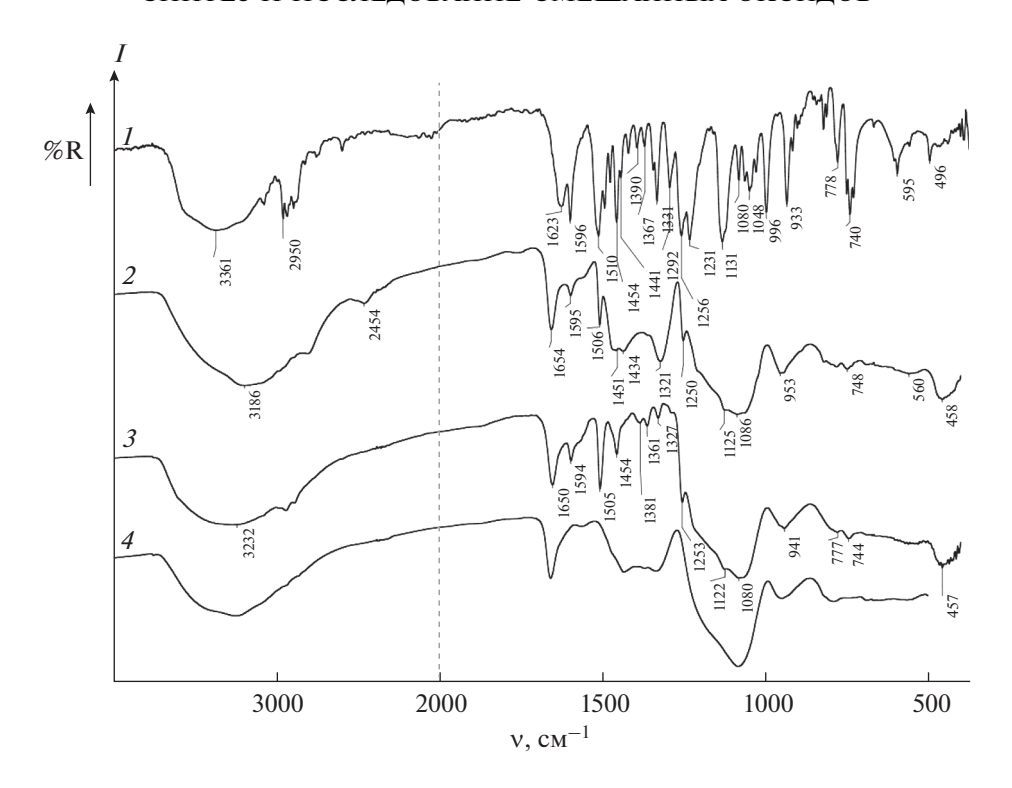


Рис. 2. ИК-спектры композитов на основе SiO_2 — TiO_2 и комплекса ДБК с лантаном: комплекса ДБК·LaCl₃ 1 (I), композита **8a** SiO_2 — TiO_2 с комплексом 1 (I), композита **8b** SiO_2 — TiO_3 с отпечатком катиона лантана (I), оксида SiO_3 —I0 (I0).

Схема 2.

ДБК присутствует во всех композитах (8a, b—14a, b), больше всего его в композитах с комплексами бария и цезия (образцы 11a, b и 13a, b) > 30% (табл. 2). Непромытые образцы (8a—14a) содержат значительное количество воды (14—29%), присутствие азота (3.6—5.8%) свидетельствует об остаточных количествах ДМФА. После отмывки (образцы 8b—14b) содержание азота уменьшается в десятки раз (до 0.89—0.19%), в 1.5—2 раза снижается и количество воды. После промывки и удаления катионов относительное суммарное количество оксидов несколько увеличивается, по-видимому, за счет удаления значительных количеств ДМФА и воды при промывке и сушке образцов.

В ИК-спектрах композита на основе SiO_2 — TiO_2 и комплекса ДБК · CH_3COONa (12a) (рис. 3, кривая 2) полоса поглощения ацетат-иона при 1570 cm^{-1} ($v_{as}(COO^-)$) смещается в высокочастотную сторону и теряется на фоне полосы деформационных колебаний воды в интервале 1620— 1650 cm^{-1} . В свою очередь, полоса ароматического кольца краун-эфира при 1596 cm^{-1} не претерпевает смещения и проявляется четко на фоне полосы деформационных колебаний воды. В области 1300— 1500 cm^{-1} видны полосы поглощения валентных колебаний карбонатных групп, обусловленные сорбцией углекислого газа на поверхности оксида.

Таблица 2. Состав композитов на основе SiO₂ : TiO₂ (1 : 1) и комплексов ДБК по данным элементного анализа (все композиты сушили при 110°C до постоянного веса)

№	Coord Volumenture	Содержание, %		Данные элементного анализа, %			
композита	Состав композитов	ДБК	H ₂ O	С	Н	N	MO_x
	SiO_2 - TiO_2 (1:1)	Нет	11.70	0.61	1.30	нет	82.85
8a	SiO ₂ -TiO ₂ ·ДБКLaCl ₃	17.50	17.46	11.70	3.03	5.64	60.37
8b	SiO ₂ -TiO ₂ ·ДБК, отпечаток La(III)	17.61	9.18	11.74	2.11	0.69	73.43
9a	SiO ₂ —TiO ₂ ·ДБК·EuCl ₃	16.21	16.20	10.82	2.89	5.26	61.40
9b	SiO ₂ -TiO ₂ ·ДБК, отпечаток Eu(III)	14.53	7.47	9.69	1.92	0.64	75.75
10a	SiO ₂ —TiO ₂ ·ДБК·SmCl ₃	16.98	14.31	11.32	2.68	5.30	61.72
10b	SiO ₂ -TiO ₂ ·ДБК, отпечаток Sm(III)	15.61	8.10	10.41	1.99	0.89	74.76
11a	SiO ₂ :TiO ₂ ·ДБК·CsI	29.92	19.71	17.95	3.28	3.6	46.26
11b	SiO_2 - TiO_2 :ДБК, отпечаток $Cs(I)$	32.55	12.51	21.7	2.74	0.53	59.57
12a	SiO ₂ -TiO ₂ ·ДБК·CH ₃ COONa	22.58	25.38	16.51	3.91	5.17	52.53
12b	SiO_2 - TiO_2 :ДБК, отпечаток $Na(I)$	26.20	17.64	17.47	3.05	0.33	65.65
13a	SiO ₂ —TiO ₂ ·ДБК·BaCl ₂	32.29	29.52	23.53	4.37	4.75	45.68
13b	SiO_2 - TiO_2 :ДБК, отпечаток $Ba(II)$	32.65	23.58	23.77	3.71	0.19	54.46
14a	SiO ₂ —TiO ₂ ·ДБК·SrCl ₂	22.60	23.69	15.07	3.82	5.80	50.34
14b	SiO ₂ -TiO ₂ ·ДБК, отпечаток Sr(I)	23.86	12.78	15.91	2.51	0.33	46.57

После промывки композита 12а и получения композита 12b с отпечатком катиона натрия поглощение карбонатных групп исчезает (рис. 3, кривая 2 и рис. 4, кривая 3), а полосы краун-эфира становятся более разрешенными и узкими, чем в комплексе, поэтому можно считать, что в процессе формирования отпечатка катиона симметрия краун-эфирного цикла повышается. В спектре композита SiO_2 - $TiO_2 \cdot ДБК \cdot CsI$ (11a) (рис. 3, кривая 5), как и в описанных выше спектрах, наблюдаются полосы колебаний воды (валентные колебания связи O-H при 3189 см $^{-1}$) и валентных колебаний карбонатных групп в диапазоне 1300— 1500 см^{-1} , на фоне которых проявляются полосы краун-эфира (комплекса). После промывки образца 116 (рис. 4, кривая 5) частота валентных колебаний связей О-Н повышается до 3327 см-1, а полосы поглощения карбонатных групп исчезают, что может быть связано с удалением части катионов при промывке водой в виде карбоната металла.

В ИК-спектрах в области 1300—1550 см⁻¹ у композитов, содержащих щелочные и щелочноземельные металлы (11a—14a), в отличие от РЗЭ (8a—10a), наблюдаются изменения в форме и соотношении интенсивностей полос, что можно объяснить различным количеством карбонатных групп (рис. 3, 4).

ИК-спектры композитов на основе SiO_2 — TiO_2 с комплексами ДБК с РЗЭ (8a—10a) практически одинаковые. Так, в спектре композита 8a с комплексом ДБК · LaCl₃ (рис. 2, кривая 2) имеются полосы колебаний ароматических колец (1595, 1506 см^{-1}) и максимумы СН-групп (1451, 1434 и

 1321 см^{-1}). На фоне полосы колебаний связей Si-O четко видны полосы группировок С-О-С (1250, 1125 и 1086 см $^{-1}$). Значительные изменения наблюдаются в области поглошения воды: так, полоса валентных колебаний связей О-Н становится более интенсивной, уширяется, и ее максимум понижается в спектре композита с 3361 до 3186 cm^{-1} . Более чем на 20 cm^{-1} повышается частота леформационных колебаний волы (ло 1654 см^{-1}). Это свидетельствует о наличии как физически адсорбированной, так и координационно связанной воды, образующей различные по энергии водородные связи, что, в свою очередь, может быть вызвано как повышением степени координации воды, так и влиянием новых координационных центров при формировании композита.

ИК-спектры промытых образцов (композитов с отпечатками катионов) независимо от радиуса иона и строения комплекса практически не отличаются друг от друга (рис. 4), для них характерно исчезновение полос валентных колебаний карбонатных групп в области 1300-1500 см $^{-1}$. После промывки композита 8а и получения композита 8b с отпечатком катиона лантана в ИК-спектре (рис. 2, кривая 3) частота валентных колебаний молекулы воды смещается в область $3200-3300~{\rm cm}^{-1}$ и понижается частота колебаний связей Si-O (1067 cm^{-1}) . По сравнению с исходным комплексом отсутствует расщепление полос скелетных колебаний ароматического кольца при 1509 и 1455 см^{-1} . При этом полосы ДБК в области 1600— 1300 см^{-1} смещены на $3-7 \text{ см}^{-1}$ относительно их положения как в спектре чистого комплекса, так

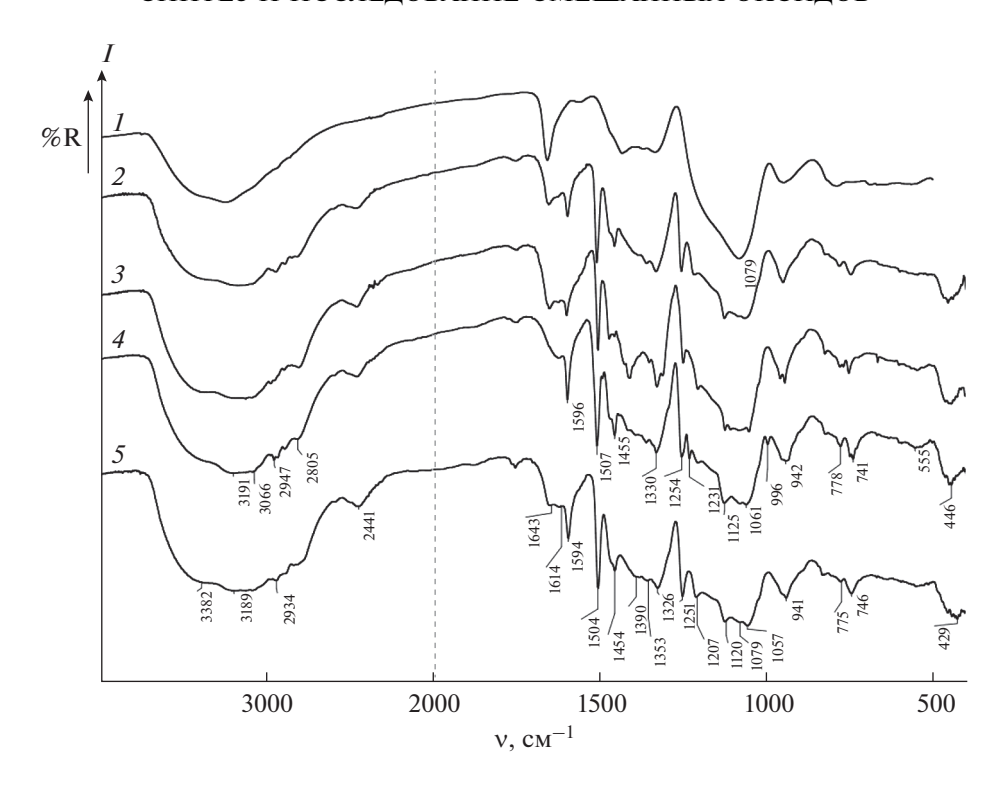


Рис. 3. ИК-спектры SiO_2 — TiO_2 (*I*) и композитов на его основе с комплексами ДБК: комплекса с натрием **12a** (*2*), комплекса со стронцием **14a** (*3*), комплекса с барием **13a** (*4*), комплекса с цезием **11a** (*5*).

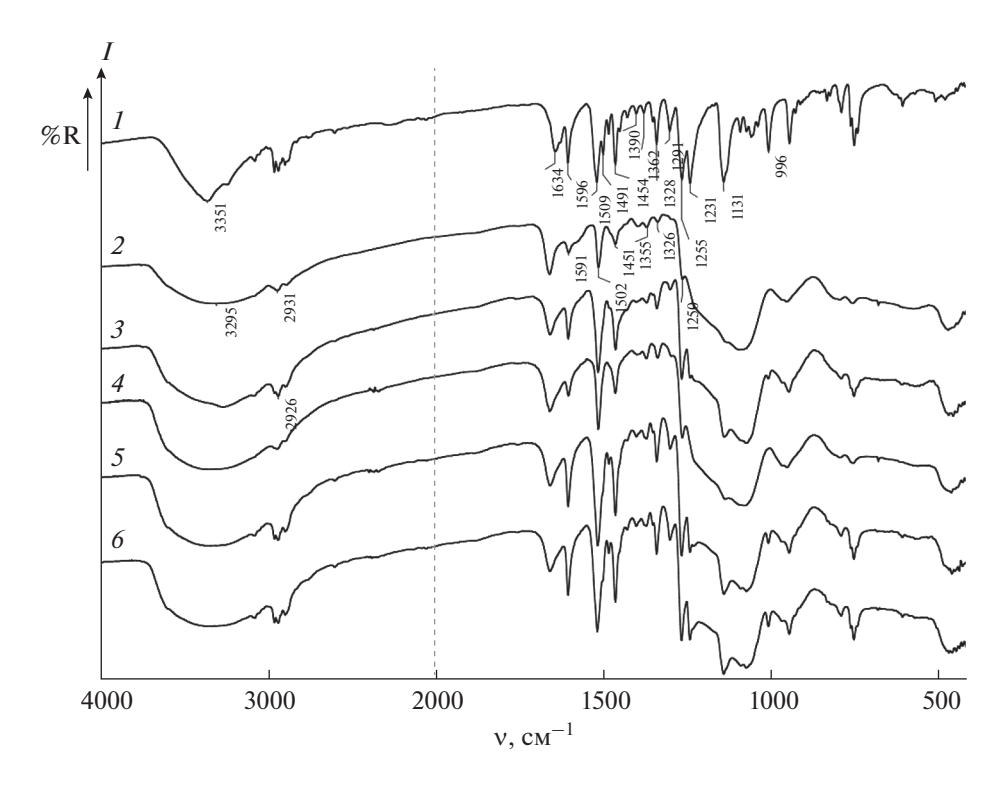


Рис. 4. ИК-спектры комплекса ДБК·SmCl₃ **10a** (*1*) и композитов с отпечатками катионов металлов: самария **10b** (*2*), натрия **12b** (*3*), стронция **14b** (*4*), цезия **11b** (*5*), бария **13b** (*6*).

Композит	Состав композита	Элемент	Сорбция, %	Емкость, мг/г
13b	SiO ₂ -TiO ₂ ·ДБК, отпечаток Ba(II)	Ba	0	0
	_	Sr	21.08	4.89
		La	61.50	10.53
14b	SiO ₂ -TiO ₂ ·ДБК, отпечаток Sr(II)	Ba	0	0
		Sr	11.47	2.36
		La	58.73	12.77
11b	SiO_2 - TiO_2 :ДБК, отпечаток $Cs(I)$	Ba	0	0
		Sr	11.08	2.47
		La	57.80	12.12
12b	SiO ₂ -TiO ₂ ·ДБК, отпечаток Na(I)	La	31.02	6.46
		Sm	75.01	17.52
		Eu	7.17	1.32
8b	SiO ₂ -TiO ₂ ·ДБК, отпечаток La(III)	La	94.26	21.62
		Sm	0	0
		Eu	0	0
9b	SiO ₂ -TiO ₂ ·ДБК, отпечаток Eu(III)	La	81.1	15.6
10b	SiO ₂ −TiO ₂ ·ДБК, отпечаток Sm(III)	La	98.2	10.45
		Sm	0	0

Таблица 3. Сорбция катионов РЗЭ из метанола композитами SiO₂—TiO₂ · ДБК с отпечатком катиона металла

и в спектре композита до промывки, что мы связываем с искажениями молекулы краун-эфира при формировании отпечатка катиона.

На рис. 5 приведены дериватограммы композитов, модифицированных комплексами с солями P39(1-3). Характер дериватограмм композитов с комплексами ДБК · РЗЭ оказался похожим. На основании кривых ДТА и ДТГ последовательность процессов, протекающих при термообработке композитов, можно представить следующим образом. В интервале температур 27.6—170°C наблюдается эндотермический эффект, связанный с удалением физически адсорбированной воды, потери массы образцов при этом составляют 5.32-7.06 мас. %. Ранее нами показано [43], что для немодифицированных композитов подобного состава количество физически адсорбированной воды заметно больше (7.50-30.00 мас. %). Основная часть воды, а также ДМФА включены в структуру композита, скорее всего, в виде комплекса с ДБК. Экзотермический эффект с максимумом при 215-230°C соответствует разрушению комплекса ДМФА-вода-ДБК-катион металла и последующей термической деструкции ДМФА и удалению карбонатных групп. Удаление воды и ДМФА из комплекса происходит одновременно с его разложением, что свидетельствует об участии молекул воды и ДМФА в процессах координации. При этом потери массы образцов составляют 8.49-20.79 мас. %. Экзотермический эффект с максимумом при 330-341°C обусловлен процессом термической деструкции ДБК, при этом потери массы образцов равны 10.70-13.60 мас. %. ДБК прочно связан с оксидом, его заметное удаление происходит при температурах, близких к температуре кипения. Для промытых образцов, имеющих на поверхности молекулы ДБК с отпечатком катиона La (III) (образец 8b), наблюдаются два типа связанных оксидом SiO₂-TiO₂ молекул ДБК, прочность удерживания которых в композите различна: слабосвязанные молекулы удаляются при 312-314°C, а прочносвязанные при 341-344°C. Дальнейший прогрев образцов до 1000°С сопровождается небольшой потерей массы, которая составляет 1.1-1.30%. Общие потери массы образцов составляют 25.66—40.73%. Таким образом, композиты TiO_2-SiO_2 , модифицированные комплексами ДБК, после сушки при 110-150°С содержат еще воду и ДМФА. Уменьшение потерь массы промытых образцов, которая проводилась для удаления катиона металла, содержащегося в краун-эфире, свидетельствует о том, что выбранные условия промывки это обеспечивали. Это подтверждено результатами количественного анализа по спектрам EDX.

0

Eu

0

Исследование сорбционных свойств композитов (из индивидуальных растворов солей металлов) на основе оксидов SiO₂—TiO₂ и ДБК, имеющих отпечатки катионов P3Э, а также катионов Ba(II), Sr(II), Cs(I), Na(I) показало, что композиты с отпечатками катионов Ba(II), Sr(II), Cs(I) приобретают селективность к катиону La(III). Интересно, что композит с отпечатком катиона Na(I), близкого по размеру к катионам P3Э, обладает значительной селективностью в отношении катионов Sm(III) (табл. 3). Композиты с отпечатками La(III) и Eu(III), и особенно с отпечатком Sm(III), прекрасно сорбируют La(III), при этом

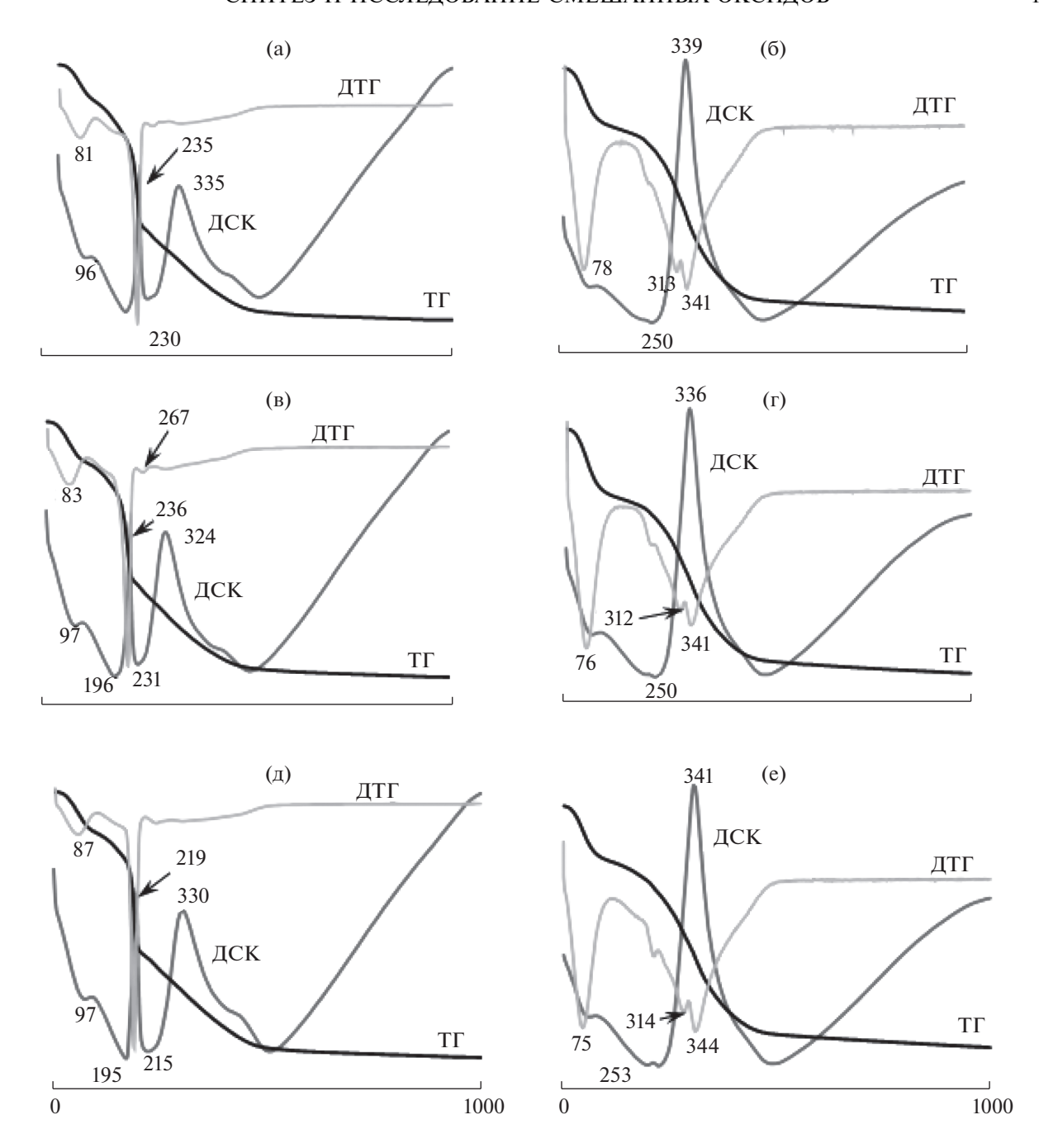


Рис. 5. Дериватограммы композитов SiO_2 — TiO_2 с комплексами краун-эфиров с катионами металлов или их отпечат-ками: SiO_2 — TiO_2 :ДБК·LaCl₃ **8a** (a), SiO_2 — TiO_2 :ДБК (с отпечатком лантана) **8b** (б), SiO_2 — TiO_2 :ДБК (с отпечатком европия), **9b** (г), SiO_2 — TiO_2 :ДБК·SmCl₃ **10a** (д), SiO_2 — TiO_2 :ДБК (с отпечатком самария) **10b** (е).

композиты с отпечатками La(III) и Sm(III) отличаются высокой селективностью сорбции по отношению к La(III).

ЗАКЛЮЧЕНИЕ

Композиты на основе SiO_2 — TiO_2 и комплексов дибензо-18-краун-6 с металлами содержат значи-

тельные количества воды и ДМФА, которые включаются в процесс комплексообразования краун-эфира с катионом металла, а также углекислого газа, сорбированного на поверхности композита. После промывки вышеуказанных композитов водой происходит удаление не только катионов металла, но и ДМФА и углекислого газа. При этом отмечено изменение спектраль-

ных характеристик молекул ДБК, оставшихся в композите, что может быть связано с формированием ионных отпечатков в композитах после промывки. Композиты на основе SiO_2 — TiO_2 и комплексов ДБК с металлами, а также композиты SiO_2 — TiO_2 :ДБК с отпечатками катионов металлов термически устойчивы.

Полученные результаты свидетельствуют о перспективности создания сорбентов для эффективной и селективной сорбции катионов РЗЭ путем формирования отпечатков катионов в композитах SiO_2 — TiO_2 ·ДБК. В частности, композиты SiO_2 — TiO_2 ·ДБК, имеющие отпечаток катионов La(III), Sm(III) либо катиона Na(I) могут быть использованы в перспективе для извлечения катионов La(III) из технологических растворов.

ФИНАНСИРОВАНИЕ РАБОТЫ

Работа выполнена в рамках государственных заданий АААА-А19-119012290117-6 и АААА-А19-119012490007-8 с использованием оборудования Центра коллективного пользования "Спектроскопия и анализ органических соединений" (ЦКП "САОС").

КОНФЛИКТ ИНТЕРЕСОВ

Авторы заявляют, что у них нет конфликта интересов.

СПИСОК ЛИТЕРАТУРЫ

- Ogawa M., Kuroda K. // Chem. Rev. 1995. V. 95. P. 399. https://doi.org/10.1021/cr00034a005
- Ogawa M. // Photochem. Photobiol. C. 2002. V. 3. P. 129. https://doi.org/10.1016/S1389-5567(02)00023-0
- 3. *Fornés A.C.V., García H., Miranda M.A. et al.* // J. Am. Chem. Soc. 1994. V. 116. P. 9767. https://doi.org/10.1021/ja00100a059
- 4. *Liu. C.-H., Li S.-G., Pang W.-Q. et al.* // Chem. Commun. 1997. № 1. P. 65. https://doi.org/10.1039/A605721G
- Ogawa M., Nakamura T., Mori J. et al. // Microporous Mesoporous Mater. 2001. V. 48. P. 159. https://doi.org/10.1016/S1387-1811(01)00339-0
- Xi H., Zhang Y., Li Z. et al. // J. Mater. Sci. Lett. 2002.
 V. 21. P. 1817. https://doi.org/10.1023/A:1021567903042
- Takagi S., Shimada T., Eguchi M. et al. // Langmuir. 2002. V. 18. P. 2265. https://doi.org/10.1021/la011524v
- Takagi S., Tryk D.A., Inoue H. // J. Phys. Chem. 2002.
 V. 106. P. 5455. https://doi.org/10.1021/jp0200977
- Yokoi H., Shiragami T., Hirose J. et al. // World J. Microbiol. Biotechnol. 2003. V. 19. P. 559. https://doi.org/10.1023/A:1025104032318

- Iler R.K. The Chemistry of Silica. N.Y.: Wiley, 1979. 345 p. https://doi.org/10.1002/actp.1980.010310623
- 11. *Brinker C.J.*, *Scherer G.W.* // J. Non-Cryst. Solids. 1985. V. 70. P. 301. https://doi.org/10.1016/0022-3093(85)90103-6
- Schmidt H., Scholze H., Kaiser A. // J. Non-Cryst. Solids. 1984. V. 63. P. 1. https://doi.org/10.1016/0022-3093(84)90381-8
- 13. *Schmidt H.* // ACS Symp. Ser. 1988. V. 360. P. 333. https://doi.org/10.1002/adma.19890010413
- Sugahara Y., Inoue T., Kuroda K. // J. Mater. Chem. 1997. V. 7. P. 53. https://doi.org/10.1039/A603741K
- Babonneau F. // Polyhedron. 1994. V. 13. P. 13. https://doi.org/10.1016/S0277-5387(00)80249-1
- Fahrenholtz W.G., Smith D.M. // Mater. Res. Soc. Symp. Proc. 1994. V. 271. P. 705. https://doi.org/10.1557/PROC-271-705
- Lee S., Okura I. // Anal. Chim. Acta. 1997. V. 342.
 P. 181.
 https://doi.org/10.1016/S0003-2670(96)00562-4
- Tanaka H., Yokoji M., Hino R. // J. Surf. Sci. Soc. Jpn. 2002. V. 75. P. 421. https://doi.org/10.4011/shikizai1937.75.421
- Tanaka H., Yokoji M., Hino R. // J. Soc. Powder Technol. Jpn. 2003. V. 40. P. 649. https://doi.org/10.4164/sptj.40.649
- Levy D. // Chem. Mater. 1997. V. 9. P. 2666. https://doi.org/10.1021/cm970355q
- Ahmed G., Petkov I., Gutzov S. // J. Inclusion Phenom. Mol. Recognit. Chem. 2009. V. 64. P. 143. https://doi.org/10.1007/s10847-009-9546-5
- Deng Y., Maier W.F. // J. Catal. 2001. V. 199. P. 115. https://doi.org/10.1006/jcat.2000.3155
- Muller C.A., Schneider M., Gisler A. et al. // Catal. Lett. 2000. V. 64. P. 9. https://doi.org/10.1023/A:1019074617565
- 24. *Vigneau O., Pinel C., Lemairea M.* // Anal. Chim. Acta. 2001. V. 435. P. 75. https://doi.org/10.1016/S0003-2670(00)01279-4
- 25. *Ehrlich G.V., Lisichkin G.V.* // Russ. J. Gen. Chem. 2017. V. 87. № 6. P. 1220. https://doi.org/10.1134/S1070363217060196
- 26. *Yost T.L., Fagan B.C., Allain L.R. et al.* // Anal. Chem. 2000. V. 72. P. 5516.
- 27. *Золотов Ю.А.* // ЖВХО им. Д.И. Менделеева. 1985. Т. 30. № 5. С. 584.
- 28. *Хираока М.* Краун-соединения. Свойства и применения / Пер. с англ. под ред. Эмануэля Н.М. М.: Мир, 1986. 363 с. [*Hiraoka M.* Crown Compounds. Their Characteristics and Applications. N.Y.: Elsevier, 1982. 296 р.]
- 29. *King R.B.*, *Heckley P.R.* // J. Am. Chem. Soc. 1974. V. 96. № 10. P. 3118. https://doi.org/10.1021/ja00817a017
- 30. *Park S.S., Moorthy M.S., Song H.-J. et al.* // J. Nanosci. Nanotechnol. 2014. V. 14. № 11. P. 8845. https://doi.org/10.1166/jnn.2014.9956

- 31. *Nesterov S.V.* // Russ. Chem. Rev. 2000. V. 69. № 9. P. 769. https://doi.org/10.1070/RC2000v069n09ABEH000586
- 32. *Титова Ю.А.*, *Федорова О.В.*, *Овчинникова И.Г. и др.* // Макрогетероциклы. 2014. № 1. С. 23. https://doi.org/10.6060/mhc140481t
- 33. *Vydysh A.A.*, *Dovhyi I.I.*, *Bezhin N.A.* // Russ. Chem. Bull. 2018. № 12. P. 2275. https://doi.org/10.1007/s11172-018-2370-6
- 34. *Fedorova O.V., Maksimovskikh A.I., Koryakova O.V. et al.* // Russ. J. Gen. Chem. 2018. V. 88. № 2. P. 362. https://doi.org/10.1134/S1070363218020299
- 35. *Максимовских А.И., Мурашкевич А.Н., Федорова О.В. и др.* // Рос. хим. журн. (Журн. Рос. хим. об-ва им. Д.И. Менделеева). 2017. Т. 61. № 4. С. 66.
- 36. Murashkevich A.N., Alisienok O.A., Maksimovskikh A.I. // Inorg. Mater. 2016. V. 52. № 3. P. 294. https://doi.org/10.1134/S0020168516030122

- 37. *Павлова-Веревкина О.Б., Политова Е.Д., Назаров В.В.* // Коллоид. журн. 1999. Т. 61. № 3. С. 389.
- 38. *Цивадзе А.Ю., Варнек А.А., Хуторский В.Е.* Координационные соединения металлов с краун-лигандами. М.: Наука, 1991. 397 с.
- 39. Шершавина А.А. Поверхностные явления и дисперсные системы. Минск: БГТУ, 2005. 106 с.
- 40. *Souza A.G., Oliveira C.M.F.* // Thermochim. Acta. 1976. V. 17. № 1. P. 107. https://doi.org/10.1016/0040-6031(76)80048-2
- 41. *Murashkevich A.N.*, *Alisienok O.A.*, *Zharskiy I.M.*, *Yukhno E.K.* // J. Sol-Gel Sci. Technol. 2013. V. 68. № 3. P. 367. https://doi.org/10.1007/s10971-012-2947-8
- 42. *Nakamoto K.* Infrared and Raman Spectra of Inorganic and Coordination Compounds. N.Y.: Wiley, 1986. 412 p.
- 43. Murashkevich A.N., Lavickaya A.S., Barannikova T.I., Zharsky I.M. // J. Appl. Spectrosc. 2008. V. 75. P. 730.